

ارزیابی دقیق روش‌های رگرسیون چند متغیره (MR)، رگرسیون لجستیک (LR)، تحلیل سلسه مراتبی (AHP) و منطق فازی (FL) در پهنه‌بندی خطر زمین‌لغزش حوضه آبخیز طالقان

صدرالدین متولی* – استادیار دانشگاه آزاد اسلامی واحد نور

محمدمهری حسین زاده – دانشیار گروه جغرافیای طبیعی، دانشگاه شهید بهشتی

رضا اسماعیلی – استادیار گروه جغرافیا، دانشگاه مازندران

خطبات درخشی – دانشجوی دکتری ژئومورفولوژی، دانشگاه شهید بهشتی

پذیرش مقاله: ۱۳۹۳/۱۰/۲۰ تأیید نهایی: ۱۳۹۴/۰۵/۱۱

چکیده

پهنه‌بندی خطر زمین‌لغزش، سطح زمین را به نواحی ویژه و مجازی از درجات بالفعل و بالقوه خطر (از هیچ یا بسیار زیاد) تقسیم می‌کند. این فرآیند که بر مبنای شناخت ویژگی‌های طبیعی و مدل‌سازی کمی بر پایه داده‌های ناحیه مورد مطالعه صورت می‌گیرد، می‌تواند مبنای برای اقدامات بعدی و برنامه‌ریزی‌های آتی توسعه و عمران در مقیاس منطقه‌ای، ناحیه‌ای و محلی محسوب گردد. این پژوهش به ارزیابی میزان دقیق روش‌های رگرسیون چند متغیره (MR)، رگرسیون لجستیک (LR)، تحلیل سلسه مراتبی (AHP) و منطق فازی (FL) جهت تعیین مناسب‌ترین روش برای تهیه نقشه‌ی خطر زمین‌لغزش در حوضه آبخیز طالقان پرداخت. فاکتورهای ارتفاع، شبیب، جهت شبیب، زمین‌شناسی، کاربری اراضی، تراکم پوشش گیاهی، تراکم آبراهه، جاده، گسل و بارش به عنوان پارامترهای مؤثر بر وقوع پهنه‌های لغزشی، متغیرهای مستقل پژوهش را تشکیل دادند. پهنه‌های لغزشی هم متغیر وابسته در اجرای مدل‌های ذکر شده بودند. مقدار شاخص مجموع کیفیت (Qs) که مقایسه و ارزیابی روش‌ها را در قیاس با یکدیگر نشان می‌دهد، در روش رگرسیون لجستیک ۰/۲۶ و محاسبه شده است که مطلوبیت و صحت بیشتر استفاده از این روش را در پهنه‌بندی خطر سطح‌های لغزشی حوضه آبخیز مورد بررسی نشان می‌دهد. پس از آن، روش گام‌ای فازی ۰/۷ با مجموع کیفیت ۰/۲۵ در درجه‌ی دوم مطلوبیت و صحت قرار دارد. مقدار Qs روش‌های رگرسیون چند متغیره، گام‌ای فازی ۰/۸، گام‌ای فازی ۰/۹ و تحلیل سلسه مراتبی بترتیب ۰/۲۴، ۰/۲۳، ۰/۲۲ و ۰/۲۰ بدست آمده است که بیانگر صحت کمتر آن‌ها نسبت به رگرسیون لجستیک می‌باشد. در مورد شاخص دقیق پیش‌بینی خطر (P) هم مشاهده می‌شود که رگرسیون لجستیک با مقدار ۰/۲۲، تفکیک‌پذیری یکسان‌تر و مناسب‌تری از پهنه‌های خطر را نسبت به دیگر روش‌ها مورد استفاده تأیید می‌کند. مقدار این شاخص برای روش‌های گام‌ای فازی ۰/۷ و رگرسیون چند متغیره، که دارای مجموع کیفیت بالاتری نسبت به سایر روش‌ها بودند، ۰/۱۸ براورد شده است که نشان از تفکیک‌پذیری مناسب و یکسان پهنه‌های خطر لغزش در این دو روش دارد. دقیق روش محاسبه شده برای گام‌ای فازی ۰/۸ و ۰/۹ نیز ۰/۱۸ است.

وازگان کلیدی: صحت‌سنجی، رگرسیون لجستیک و چند متغیره، تحلیل سلسه مراتبی، منطق فازی، حوضه آبخیز طالقان

۱. مقدمه

رشد سریع جمعیت، گسترش سکونتگاه‌های انسانی در نواحی کوهستانی، مشکل بودن پیش‌بینی زمان وقوع زمین‌لغزش و متعدد بودن عوامل مؤثر در رویداد این پدیده، ضرورت پنهان‌بندی خطر زمین‌لغزش را آشکار می‌سازد. با استفاده از پنهان‌بندی خطر رخداد زمین‌لغزش می‌توان مناطق حساس و دارای پتانسیل خطر را شناسایی نموده و با ارائه راهکارها و شیوه‌های مدیریتی مناسب تا حدی از وقوع زمین‌لغزش‌ها جلوگیری و یا خسارات ناشی از آن‌ها را کاهش داد (احمدی و همکاران، ۱۳۸۲؛ کورکی نژاد و همکاران، ۱۳۸۵). پنهان‌بندی خطر زمین‌لغزش، سطح زمین را به نواحی ویژه و مجزایی از درجات بالفعل و یا بالقوه خطر (از هیچ تا بسیار زیاد) تقسیم می‌کند (Cornforth, 2005). در مورد پنهان‌بندی خطر زمین‌لغزش تاکنون بررسی‌های زیادی صورت گرفته است و پژوهشگران مختلف با استفاده از روش‌های گوناگون، طبقه‌بندی‌های متنوع و متعددی را ارائه کرده‌اند؛ اما بسته به وضعیت موجود در منطقه مورد مطالعه، دقت و انعطاف‌هر یک از روش‌ها متفاوت با دیگری است (شیرانی و همکاران، ۱۳۸۹). بنابراین، برای شناخت مناطق دارای پتانسیل زمین‌لغزش و تهیه نقشه پنهان‌بندی خطر باید بهترین و دقیق‌ترین روش را با توجه به عوامل مؤثر در رخداد وضعیت منطقه انتخاب نمود. لطفی‌زاده در سال ۱۹۶۵ با ارائه نظریه مجموعه‌های فازی، برای اولین بار اقدام به ارائه مبانی منطقه‌های فازی چند ارزشی کرد. روش‌های مبتنی بر این نظریه همچنان در حال توسعه‌اند و هر سال با ارائه روش‌های جدیدتری بر مبنای مفاهیم نظریه مجموعه‌های فازی، این امکان فراهم می‌شود تا با استدلال‌های غیر قطعی مبهم و نامعین ذهن انسان صورت‌بندی ریاضی بخشیده شود (شريعت جعفری و حامدپناه، ۱۳۸۶).

ارزیابی کمی با استفاده از منطق فازی برای نواحی دارای استعداد زمین‌لغزش (Lee و Juang, ۱۹۹۲ و Jung و همکاران، ۱۹۹۶)، استفاده از روابط فازی جهت تولید نقشه‌های پنهان‌بندی زمین‌لغزش و بکار بدن روابط فازی در تهیه نقشه‌ها به دلیل پیچیده بودن ماهیت زمین‌لغزش و دلالت عوامل متعدد در رخداد آن (Candan و Murat, ۲۰۰۳)، ارزیابی ناپایداری دامنه‌ها در ریودوژانیروی بزرگ با استفاده از مدل منطق فازی و وزن‌دهی عوامل مختلف با نظرات کارشناسی بین صفر تا یک طبقات (Sabuya و همکاران، ۲۰۰۶) و پنهان‌بندی خطر زمین‌لغزش با استفاده از منطق فازی و تحلیل سلسه مراتبی بکار گرفتن مجموعه‌های فازی برای بر طرف نمودن محدودیت روش‌های کمی (Gorsevski و همکاران، ۲۰۰۶) از جمله پیشینه‌های پژوهشی مرتبط با منطق فازی و پنهان‌بندی خطر زمین‌لغزش در جهان می‌باشند. استفاده از اپراتورهای منطق فازی برای پنهان‌بندی زمین‌لغزش حوضه آبخیز چالکرود و ارزیابی صحت نقشه‌ها با نمایه جمع کیفی (Q_s)^۱ (شادر، ۱۳۸۴)، ارزیابی کارایی اپراتورهای منطق فازی در تعیین زمین‌لغزش در حوضه آبخیز شیرود و تعیین اپراتور فازی گاما_{۰/۸} به عنوان مناسب‌ترین اپراتور در تعیین خطر زمین‌لغزش در حوضه آبخیز مورد مطالعه (عبادی‌نژاد و همکاران، ۱۳۸۶)، پنهان‌بندی خطر زمین‌لغزش در حوضه آبخیز لاچیم با استفاده از مدل‌های منطق فازی و سنجش از دور و تعیین مدل گاما_{۰/۷} فازی و مدل میانگین وزنی مرتب شده فازی به عنوان مناسب‌ترین مدل برای پنهان‌بندی خطر زمین‌لغزش در منطقه مورد بررسی به دلیل کمترین تغییرپذیری و انحراف از معیار در مدل سازی (متکان و همکاران، ۱۳۸۸)، پنهان‌بندی خطر زمین‌لغزش با استفاده از اپراتور فازی گاما (مطالعه موردی : حوضه آبخیز هراز) و تعیین سطح همبستگی هر یک از عوامل مؤثر بر وقوع زمین‌لغزش و نقاط لغزشی با بکار گیری مدل نسبت فراوانی (Dr)^۲ و سپس مقادیر فازی با نظرات کارشناسی و تعیین توابع عضویت برای هر یک از عوامل مؤثر (مرادی و همکاران، ۱۳۸۹) و بالاخره کاربرد منطق فازی در پنهان‌بندی خطر زمین‌لغزش در حوضه آبخیز چرداول ایلام با استفاده از تئوری منطق فازی و شاخص نسب دانسیته (Dr)^۳ همراه با تهیه‌ی نقشه‌ی خطر زمین‌لغزش و نشان دادن مطلوبیت بیش‌تر اپراتور گاما به

¹. Quality Sum

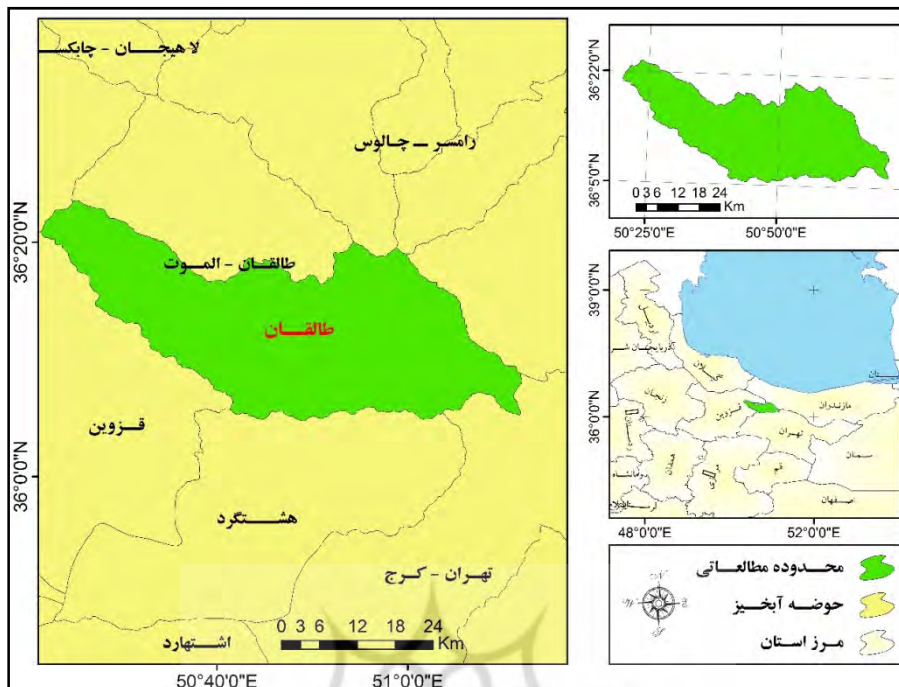
². Frequency Ratio

³. Density Ratio

لحوظ تفکیک مناسب طبقات خطر زمین‌لغزش نسبت به دیگر اپراتورهای فازی (نادری، ۱۳۹۱) از جمله پژوهش‌های داخلی مرتبط با موضوع مورد مطالعه در بررسی حاضر می‌باشند. با توجه به آنچه گفته شد، بررسی علمی پدیده زمین‌لغزش و تهیه نقشه پهنه‌بندی ریسک آن، از یک سو به منظور شناسایی مناطق دارای پتانسیل زمین‌لغزش در محدوده فعالیت‌های بشری حائز اهمیت بوده و از سوی دیگر جهت شناسایی مکان‌های امن برای توسعه زیستگاه‌های جدید و یا سایر کاربری‌های انسانی نظیر راهها، مسیر انتقال نیرو و انرژی، نیروگاه‌ها و ... در مقیاس‌های مختلف مورد توجه برنامه‌ریزان قرار دارد (Naderi, et al., 2010). پژوهش حاضر بر آن است تا ضمن پهنه‌بندی خطر زمین‌لغزش در حوضه آبخیز طالقان، به ارزیابی میزان دقت روش‌های رگرسیون چند متغیره (MR)، رگرسیون لجستیک (LR)، تحلیل سلسله مراتبی (AHP) و منطق فازی (FL) جهت تعیین مناسب‌ترین روش برای تهیه‌ی نقشه‌ی خطر زمین‌لغزش در منطقه مطالعه‌ی می‌پردازد.

۲. منطقه مورد مطالعه

حوضه آبخیز طالقان با مساحتی معادل ۱۳۲۶ کیلومتر مربع یکی از زیرحوضه‌های مهم سفید رود بهشمار می‌رود که در دامنه جنوبی رشته کوه‌های البرز و در بخش شمال غربی تهران و به فاصله‌ی ۱۲۰ کیلومتری از این شهر واقع شده است. موقعیت جغرافیایی حوضه بین $۵^{\circ} ۳۶^{\prime}$ تا $۲۳^{\circ} ۳۶^{\prime}$ عرض شمالی و $۵۰^{\circ} ۲۱^{\prime}$ تا $۵۱^{\circ} ۰۵^{\prime}$ طول شرقی قرار دارد (شکل ۱). ارتفاع متوسط حوضه ۲۷۴۰ متر از سطح دریا (ارتفاع حداکثر ۴۴۰۰ و حداقل ۱۰۸۰ متر) می‌باشد. بر مبنای دوره آماری ۱۰ ساله داده‌های ایستگاه‌های سینوپتیک کرج و هشتگرد و ایستگاه باران‌سنگی جزندان، میانگین بارش سالانه حوضه آبخیز طالقان $۵۱۵/۱۶$ میلیمتر و دمای سالانه آن نیز $۱۰/۵$ درجه سانتیگراد است (سازمان هواشناسی استان تهران). حوضه آبخیز طالقان جزء پهنه رسوی - ساختمانی ایران میانی و به طور دقیق تر زیر پهنه البرز است. در این منطقه، رسبات آبرفتی دوره کواترنری و نهشته‌های سیلتسنونی و گل‌سنگی قرمز رنگ با عدسی‌های رسی اواخر ترشیاری بیشترین رخنمون را دارند. به نظر می‌رسد زمین‌ساخت فعال ناحیه‌ای و فرآیندهای مرتبه با آن، شیب هیدرولیکی و حرکت آب-های سطحی از شمال و جنوب به سمت مرکز منطقه، بالا بودن سطح آب زیرزمینی (با نشانه‌هایی چون انواع چشممه، تالاب‌های رسوی و نشست آب)، شیب تند و دامنه‌های متشکل از رسبات عمده‌ای مارنی، گل‌سنگی و سیلتسنونی، عوامل اصلی وقوع زمین‌لغزش در حوضه آبخیز طالقان هستند.

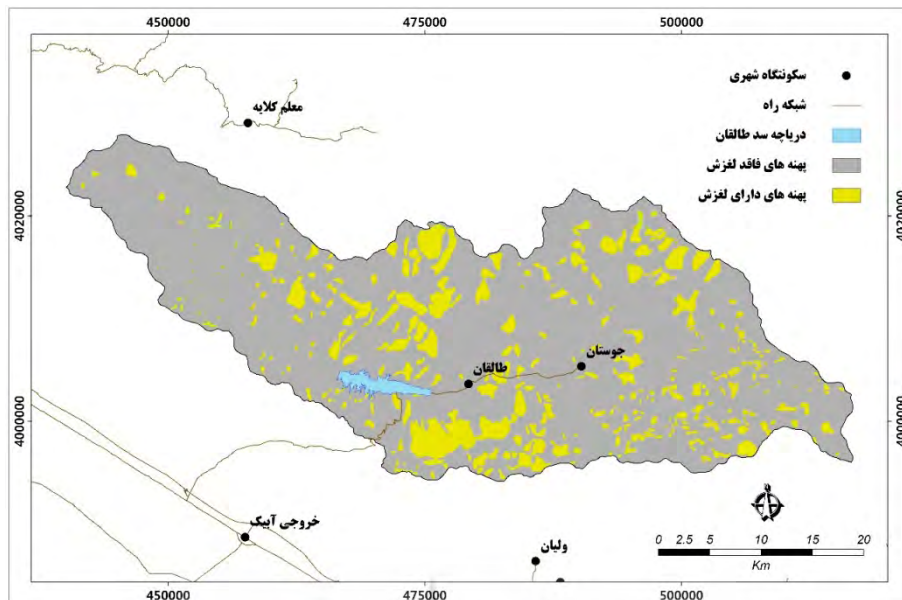


شکل ۱. موقعیت جغرافیایی حوضه آبخیز طالقان

۳. روش پژوهش

۱- تهییه نقشه متغیرهای مؤثر، نسبت فراوانی

انجام پهنه‌بندی و تهییه نقشه‌های خطر در این پژوهش، بر مبنای تلفیق زمین‌لغزش‌های منطقه با معیارهای دخیل در زمین‌لغزش‌ها می‌باشد که در اینجا به نحوه تهییه نقشه پراکنش زمین‌لغزش‌ها اشاره می‌شود. در ابتدا داده‌های پراکنش رخدادهای زمین‌لغزش در محدوده مطالعه، به صورت نقطه‌ای از سازمان جنگل‌ها، مراتع و آبخیزداری کشور تهییه گردید؛ سپس این لایه با استفاده از تصاویر ماهواره‌ای با قدرت تفکیک مکانی بالا و نیز Google Earth و همچنین نقشه‌های ۱:۱۰۰۰۰۰ زمین‌شناسی ورقه‌های شکران، قزوین و مرزن آباد به پهنه‌های لغزشی تبدیل شد؛ یعنی با تعیین پراکنش موقعیت نقطه‌ای زمین‌لغزش‌ها بر روی منابع اطلاعاتی ذکر شده از منطقه، بر مبنای این موقعیت و محدوده مکانی زمین‌لغزش اتفاق اقتاده و همچنین ویژگی‌های ظاهری آن (محل بریدگی، مقدار توده افتاده، میزان جابجایی سطحی خاک و ...)، لایه‌ی نقطه‌ای به لایه‌ی سطح یا پهنه‌ای زمین‌لغزش‌ها تبدیل گردید. لایه‌ی بدست آمده از پهنه‌های زمین‌لغزش به عنوان مهم‌ترین لایه مورد استفاده در پژوهش حاضر، متغیر وابسته در اجرای مدل‌های پهنه‌بندی می‌باشد. پراکنش رویدادهای زمین‌لغزش منطقه مورد بررسی در شکل ۲ نشان داده شده است.



شکل ۲. نقشه پراکنش پهنه‌های لغزش حوضه آبخیز طالقان

در ادامه، پارامترهای مؤثر بر وقوع پهنه‌های لغزشی در حوضه آبخیز طالقان شناسایی شدند. لایه‌های ارتفاع، شیب و جهت شیب از مدل رقومی ارتفاع منطقه (DEM)¹ با اندازه سلول‌های ۱۰ متری استخراج گردیدند. جهت تهیه متغیر پوشش گیاهی حوضه آبخیز طالقان از شاخص تراکم پوشش گیاهی NDVI و تصویر ماهواره‌ای لندست ETM سال ۲۰۱۰ استفاده شد. در ارتباط با لایه‌های جاده و گسل باید گفت چون این لایه‌ها به صورت خطی هستند، جهت آماده-سازی آن‌ها از تابع Distance بر مبنای حداکثر فاصله استفاده شد. با این تابع لایه‌های رسترن ای به دست آمد که فاصله از هر کدام از متغیرها را تا مرز محدوده مورد مطالعه نشان می‌دهد. جهت استفاده از لایه آبراهه، از تراکم آبراهه (بر حسب طول به متر) در واحد سطح (بر حسب مساحت به کیلومتر مربع) استفاده گردید. با استفاده از تابع Density این لایه به صورت رسترن درآمده که تراکم آبراهه را در واحد سطح نشان داد. پس از آماده شدن لایه‌های عامل (شامل ارتفاع، شیب، جهت شیب، زمین‌شناسی، کاربری اراضی، تراکم پوشش گیاهی، فاصله از گسل، فاصله از جاده و تراکم آبراهه)، این لایه‌ها به عنوان متغیرهای مؤثر با لایه‌ی پهنه‌های زمین‌لغزش با همه لایه‌های آماده شده تلفیق شدند. تلفیق یا همپوشانی لایه‌ها با استفاده از تابع ضرب در تحلیل گر رسترن² محیط ArcMap انجام گرفت. به این ترتیب، تعداد پیکسل‌های لغزشی در هر طبقه از هر کدام از عوامل مؤثر مورد استفاده در این پژوهش بودست آمد. در مرحله بعد با استفاده از مدل نسبت فراوانی، وزن نسبی هر یک از عوامل و طبقات مرتبط با آن از رابطه Lee¹ محاسبه گردید (Lee, 2007). این وزن هر یک از طبقات، همان مقدار وزن نسبی محاسبه شده برای هر طبقه از هر متغیر به عنوان میزان نقش آن طبقه در رخدادهای لغزشی حوضه آبخیز مورد مطالعه است.

$$\text{رابطه (1)} \quad FR = A/B$$

که در آن A درصد پیکسل‌های لغزشی، B درصد پیکسل‌های فاقد لغزش و FR نسبت فراوانی است. در انتهای این بحث لازم به ذکر می‌باشد که تحلیل رسترن همه متغیرهای مورد استفاده در قالب شیکه سلول‌های با ابعاد ۱۰ متری انجام گرفت.

¹. Digital Elevation Model

². Raster Analyst

۲-۳ تهیه نقشه پهنه‌بندی خطر

۱-۲-۳ رگرسیون لجستیک (LR)

این مدل که مدل تحلیلی چند متغیره از گروه مدل‌های آماری خطی تعمیم یافته است، جهت تحلیل حضور یا عدم حضور یک ویژگی یا خروجی بر مبنای ارزش‌های مجموعه‌ای از متغیرهای مستقل مفید است. هدف اصلی از رگرسیون لجستیک، مدل‌سازی احتمال وقوع یک رویداد دو حالتی متداول، حضور و عدم حضور عوامل مختلف و معنی‌داری این حضور یا عدم حضور است. مزیت مدل‌سازی با رگرسیون لجستیک نسبت به سایر تکنیک‌های آماری چند متغیره مانند تحلیل رگرسیون چند متغیره و تحلیل تشخیص آن است که متغیر وابسته می‌تواند تنها دو مقدار داشته باشد که یکی احتمال وقوع حادثه و دیگری عدم وقوع آن است. در پژوهش حاضر، از مدل رگرسیون لجستیک به منظور تحلیل ارتباط فضایی بین رخداد زمین‌لغزش و عوامل مؤثر در این رویداد استفاده می‌شود؛ که هدف اصلی از اجرای آن یافتن بهترین مدل برای تشریح روابط میان حضور و یا عدم حضور متغیر وابسته (زمین‌لغزش) و مجموعه گروه‌هایی از متغیرهای مستقل در رویداد زمین‌لغزش است. شکل عمومی معادله رگرسیون لجستیک به صورت رابطه ۲ است.

$$\text{رابطه } 2: P = \frac{1}{1+e^{-(z)}}$$

در این معادله P احتمال رویداد حادثه (در این پژوهش زمین‌لغزش) و Z پارامتر یا فاکتور خطی است و از رابطه ۳ بدست می‌آید؛ $e^{-z} = \frac{1}{P}$ عدد ثابت $2/718$ می‌باشد.

$$\text{رابطه } 3: z = \log[\ln(p) - \ln(1-p)] = C_0 + C_1X_1 + \dots + C_nX_n$$

که C_0 عرض از مبدأ یا ضریب ثابت مدل، X_1, X_2, \dots, X_n ضرایب مربوط به متغیرهای مستقل C_1, C_2, \dots, C_n هستند. با تغییر مقدار Z از $-\infty$ تا $+\infty$ احتمال وقوع زمین‌لغزش (P) به صورت S از 0 تا 1 تغییر می‌کند که هرچه به عدد یک نزدیک‌تر باشد، احتمال وقوع زمین‌لغزش بیش‌تر و هرچه به عدد صفر نزدیک‌تر باشد، احتمال وقوع آن کم‌تر خواهد بود.

۲-۲-۳ رگرسیون چند متغیره (MR)

به منظور انجام رگرسیون چند متغیره بین عوامل مؤثر، پس از بدست آوردن وزن‌های اولیه طبقات مختلف هر یک از عوامل مستقل، اطلاعات به محیط SPSS وارد شدند. بنابراین، طبقات عوامل مؤثر در وقوع زمین‌لغزش به عنوان متغیرهای مستقل و عامل سطح زمین‌لغزش در هر طبقه به عنوان متغیر وابسته در نظر گرفته شد. در انتخاب روش رگرسیون چند متغیره، از روش گام به گام استفاده شد که نتایج حاصل از اعمال این روش با درصد اطمینان بیش از ۹۵ درصد تعیین گردید.

۳-۲-۳ تحلیل سلسه مراتبی (AHP)

روش تحلیل سلسه مراتبی سیستم‌ها بر پایه مقایسه زوجی عوامل مؤثر در وقوع زمین‌لغزش‌ها استوار بوده که با استفاده از نرم‌افزار Expert choice ابتدا با وزن‌دهی به تک تک عوامل مؤثر در نظر گرفته شده است. برای تعیین وزن معیار متغیرها در مقایسات زوجی، ابتدا ماتریسی به ابعاد 9×9 تشکیل شد. سپس با استفاده از میانگین نظرات کارشناسی، سطح اول این ماتریس تکمیل شد تا سطح دوم آن نیز محاسبه شود؛ ماتریس سطح اول و دوم متغیرهای مؤثر در وقوع زمین‌لغزش‌های حوضه آبخیز طالقان در جدول ۱ آورده شده است. پس از تشکیل اولویت‌بندی، برای بی‌بعد کردن داده‌ها و بدست آوردن وزن پارامترها از روش میانگین حسابی (یکی از روش‌های تقریبی) استفاده می‌شود. بدین منظور، ابتدا جمع مقادیر هر یک از ستون‌ها بدست می‌آید، و سپس نسبت مقادیر هر پارامتر محاسبه می‌شود. در مرحله بعد میانگین

مقادیر عناصر در هر سطر محاسبه می‌گردد تا وزن پارامتری که در آن سطر قرار دارد، بدست آید. بنابراین مراحل محاسبه وزن معیار پارامترها با روش AHP در سه مرحله انجام گرفت: ۱) برای مقایسه دو به دو پارامترها و تعیین اولویت، ابتدا پارامترها با هم مقایسه شدند و ارزش‌های مربوط به هر ستون از ماتریس مقایسه، دو به دو با هم جمع شدند؛ ۲) هر عنصر ماتریس بر مقدار کل ستون آن تقسیم گردید (از ماتریس حاصله با عنوان ماتریس استاندارد شده نام برد می‌شود) و ۳) میانگین عناصر مطرح در هر ردیف از ماتریس استاندارد محاسبه شد. این میانگین‌های تخمینی از وزن‌های نسبی معیارهای مورد مقایسه بدست می‌آیند. با استفاده از این روش، وزن‌ها به منزله میانگین از تمامی راههای ممکن از مقایسه‌ی معیارها تلقی می‌شوند.

جدول ۱. ماتریس محاسبه وزن عوامل مؤثر بر زمین‌لغزش حوضه طالقان در روش AHP

پارامتر	وزن پارامتر	۱	۰.۰۷	۳.۱	۴.۰۳	۴.۲۵	۵.۵	۶.۱	۷	۸.۶۷
زمین‌شناسی		۰.۳۳	۱	۲.۵	۲.۹	۲.۱۲	۳.۸۸	۴	۵	۶.۶۹
شیب		۰.۳۲	۰.۴	۱	۲.۳۶	۲.۷۵	۳.۴۵	۳.۹	۴.۳۳	۶.۶
فاصله از جاده		۰.۲۵	۰.۳۴	۰.۴۲	۱	۱.۵	۲.۳	۲.۶۴	۳.۶۷	۵.۶۷
کاربری اراضی		۰.۲۴	۰.۳۲	۰.۳۶	۰.۶۷	۱	۱.۶۵۵	۲.۲۱	۳	۵.۵
تراکم آبراهه		۰.۱۸	۰.۲۶	۰.۲۹	۰.۴۳	۰.۶۰	۱	۱.۷۵	۱.۸۵۵	۵.۳۳
فاصله از گسل		۰.۱۶	۰.۲۵	۰.۲۶	۰.۳۸	۰.۴۵	۰.۵۷	۱	۱.۳	۴.۳۱
تراکم پوشش گیاهی		۰.۱۴	۰.۲۰	۰.۲۳	۰.۲۷	۰.۳۳	۰.۵۴	۰.۷۷	۱	۴
جهت شیب		۰.۱۲	۰.۱۵	۰.۱۵	۰.۱۸	۰.۱۸	۰.۱۹	۰.۲۳	۰.۲۵	۱
ارتفاع										

۴-۲-۳ منطق فازی (FL)

اپراتور فازی گاما، حالت کلی روابط اپراتورهای ضرب و جمع است و می‌توان با انتخاب صحیح مقدار گاما، پارامترهای کاهشی و افزایشی را همزمان تلفیق نموده، به مقادیری در خروجی دست یافت که حاصل سازگاری قابل انعطاف میان گرایشات افزایشی و کاهشی دو اپراتور ضرب و جمع فازی باشد. برای تعديل حساسیت خیلی بالای اپراتور ضرب فازی و حساسیت خیلی کم اپراتور جمع فازی، اپراتور گاما^۱ معرفی شده است که حد فاصل ضرب و جمع جبری فازی می‌باشد. این اپراتور بر حسب حاصل ضرب جبری فازی و حاصل جمع جبری فازی بر اساس رابطه (۸-۳) تعریف می‌شود.

(۴) رابطه

که در آن $\mu_{\text{combination}}$ لایه حاصل از گامای فازی و ۷ پارامتر تعیین شده در محدوده صفر و یک است. وقتی ۷ برابر با ۱ باشد ترکیبی که اعمال می‌شود همان جمع جبری فازی و زمانی که ۷ برابر صفر باشد ترکیب، برابر ضرب جبری فازی است. انتخاب صحیح ۷ مقادیری در خروجی ایجاد می‌کند که با اثر افزایشی جمع جبری و اثر کاهشی ضرب جبری فازی سازگاری دارد.

^۱. Fuzzy Gamma

مقادیر پیکسل‌ها بستگی به انتخاب صحیح توان گاما دارند. مقادیری که ۰/۶ تا ۰/۵ از نظر گرفته می‌شود. همان طور که قبلاً اشاره شد ۰/۷ کوچک‌تر به اپراتور ضرب فازی و ۰/۸ بزرگ‌تر به اپراتور جمع فازی نزدیک می‌شود. بنابراین ۰/۷ های بزرگ‌تر حالتی خوش‌بینانه خواهد داشت. در این پژوهش از مقادیر ۰/۷ و ۰/۸ جهت پهن‌بندی خطر زمین‌لغزش در حوضه آبخیز طالقان استفاده شده است. معادله هر یک از مقادیر در نظر گرفته شده برای ۰/۷ جهت تهیه لایه حاصل از گام‌ای فازی در محیط ArcGIS به صورت رابطه‌های ۵ تا ۷ تعریف می‌گردد.

(رابطه ۵)

$$\mu_{combination}(POW([Fuzzy\ Sum],0.3) * POW([Fuzzy\ Product],0.7))$$

(رابطه ۶)

$$\mu_{combination}(POW([Fuzzy\ Sum],0.2) * POW([Fuzzy\ Product],0.8))$$

(رابطه ۷)

$$\mu_{combination}(POW([Fuzzy\ Sum],0.1) * POW([Fuzzy\ Product],0.9))$$

۳-۳-۱ ارزیابی دقت روش پهن‌بندی

در این مرحله با تلاقی نقشه پراکنش زمین‌لغزش‌های حوضه و نقشه‌های پهن‌بندی خطر در محیط ArcGIS، به ارزیابی و مقایسه روش‌های پهن‌بندی خطر زمین‌لغزش با استفاده از روش مجموع کیفیت (Qs) و دقت (Dr) پرداخته می‌شود و مدل مناسب منطبق با منطقه مورد بررسی انتخاب می‌گردد. برای ارزیابی و مقایسه دقت بین پهن‌های یا رده‌های خطر در هر روش از روش‌های پهن‌بندی، نسبت تراکم (Dr) به کار می‌رود (Yalcin, 2008؛ Yin and Yan, 1988).

۳-۳-۲ صحت یا مجموع کیفیت (Qs)

در صورتی که در منطقه‌ای چند نقشه خطر تهیه شده باشد، با استفاده از مقدار مجموع کیفیت یا جمع کیفی می‌توان نقشه‌های با دقت بیشتر و صحیح‌تر را شناسایی نمود. یک نقشه خطر مناسب، نقشه‌ای می‌باشد که بهترین جدایش را بین مناطق با تراکم بالای زمین‌لغزش و مناطق با تراکم پایین زمین‌لغزش ایجاد نماید. برای تعیین مجموع کیفیت، لازم است ابتدا نسبت تراکمی محاسبه گردد، که این محاسبه در قالب رابطه ۸ صورت می‌پذیرد (Gee, 1992).

(رابطه ۸)

$$Dr = \frac{\frac{Si}{Ai}}{\frac{\sum_i^n Si}{\sum_f^n Ai}}$$

که در آن $Si =$ مجموع مساحت زمین‌لغزش‌های واقع در هر رده خطر؛

$Ai =$ مساحت نمین رده خطر در یک نقشه پهن‌بندی؛

و $n =$ تعداد رده‌های خطر می‌باشد.

تراکم زمین‌لغزش در نقشه‌های خطری که به طور صحیح تهیه شده‌اند، از رده‌های خطر کم تا رده‌های پرخطر به صورت صعودی است. در یک روش (نقشه) پهن‌بندی، تراکم لغزش رده با $Dr = 1$ معادل با متوسط تراکم لغزش در کل منطقه و رده دارای نسبت تراکمی ۲، دارای تراکم لغزشی معادل با دو برابر تراکم لغزش منطقه است. بنابراین هرچه تفکیک بین

رده‌های خطر به وسیله‌ی شاخص نسبت تراکم بهتر صورت گرفته باشد، روش (نقشه) دارای دقت یا مطلوبیت بیشتری می‌باشد. مقدار مجموع کیفیت (QS) که از طریق رابطه ۹ محاسبه می‌گردد، نشان‌دهنده صحت یا مطلوبیت عملکرد روش در پیش‌بینی خطر زمین‌لغزش منطقه است.

(۹) رابطه

$$QS = \sum_{i=1}^n ((Dr - 1)^2 \times S)$$

که در آن QS = مجموع کیفیت؛

Dr = نسبت تراکم؛

S = نسبت مساحت خطر به مساحت کل منطقه و

n = تعداد کلاس خطر می‌باشد.

معمولًاً مقدار این شاخص برای روش‌های مختلف در گستره صفر تا ۷ قرار می‌گیرد. البته از بعد نظری (تئوریک) حدی برای آن وجود ندارد. اختلاف بین مقادیر QS ، کمتر از $1/0$ در نظر گرفته می‌شود و مقادیر با اختلاف کمتر از این مقدار تقریباً یکسان لحاظ می‌گردد؛ در واقع QS از جنس واریانس می‌باشد. انحراف مقادیر Dr از میانگین در پهنه‌های مختلف اگر به هم نزدیک باشند، نشان‌دهنده آن است که تراکم زمین‌لغزش‌ها در کلاس‌های مختلف زیاد باشد، نشان‌دهنده آن بوده و مقدار QS نیز پایین می‌باشد و اگر انحراف مقادیر Dr از میانگین در پهنه‌های مختلف زیاد باشد، نشان‌دهنده آن است که تراکم زمین‌لغزش‌ها با یکدیگر تفاوت داشته و در نتیجه مقدار عددی QS بزرگ می‌گردد. بنابراین در ارزیابی روش‌ها، هرچه مقدار مجموع کیفیت (QS) در روشنی بیش‌تر باشد، آن روش صحت یا مطلوبیت بیشتری در تدقیک خواهد داشت.

۳-۲-۳ دقت روش (P)

عبارت است از نسبت مساحت سطح لغزش یافته در پهنه‌های خطر بالا و خیلی بالا به مساحت کل آن پهنه‌ها که از رابطه 10 به دست می‌آید.

(۱۰) رابطه

$$P = KS/S$$

که در آن P = دقت روش در پهنه‌های دارای خطر متوسط به بالا؛

KS = مساحت سطح لغزش یافته در پهنه‌های دارای خطر متوسط به بالا و

S = مساحت پهنه‌های خطر مرتبط است.

۴. یافته‌های پژوهش

بررسی نتایج حاصل از مقادیر عضویت فازی (نسبت فراوانی) و ارتباط بین عوامل مؤثر بر وقوع زمین‌لغزش و لغزش‌های اتفاق افتاده در منطقه مورد مطالعه در جدول ۲ ملاحظه می‌گردد. با توجه به جدول، بیش‌ترین تعداد پیکسل‌های زمین‌لغزش در طبقه ارتفاعی 2000 تا 2500 متر قرار داشته و در طبقه 3500 تا 4000 متر بیش‌ترین درصد پیکسل‌های زمین‌لغزش وجود دارد. بر اساس وزن نسبی محاسبه شده، طبقه شیب 12 تا 20 درجه و کمترین مقدار عضویت فازی را دارا می‌باشد. در عامل شیب، بیش‌ترین مقدار عضویت فازی را طبقه شیب 12 تا 20 درجه و کمترین مقدار را طبقه 0 تا 5 درجه دارد؛ می‌توان مشاهده نمود که با افزایش شیب تا حد مشخصی، مقدار عضویت فازی نیز افزایش داشته، اما در شیب‌های بالای 40 درجه، عضویت فازی کم شده است. بیش‌ترین تعداد پیکسل‌های دارای لغزش نیز در طبقه شیب 20 تا 30 درجه وجود دارد. در متغیر جهت شیب، دامنه‌های غربی با مقدار 1 بیش‌ترین و دامنه‌های جنوب شرقی با عدد $0/676$ کمترین

مقدار عضویت فازی در وقوع زمین‌لغزش‌ها را دارا می‌باشند. بیشترین وزن نسبی در عامل کاربری اراضی، برای اراضی باگی محاسبه شده است.

جدول ۲. مقادیر عضویت فازی (وزن نسبی) مربوط به هر یک از عوامل مؤثر بر وقوع زمین‌لغزش

عامل	طبقه	تعداد پیکسل	تعداد پیکسل لغزشی	درصد پیکسل لغزشی	تعداد لغزش فاقد لغزش	درصد پیکسل فاقد لغزش	FR	وزن نسبی
ارتفاع (متر)	۱۰۰۰ - ۱۰۶۰	۲۴۹۸۵۸	۲۲۳۸	.۰۱۲	۲۴۷۴۲۰	۲.۱۹	.۰۰۶	.۰۰۴۴
	۲۰۰۰ - ۲۰۶۰	۲۲۵۲۵۲	۲۰۷۸۶۲	.۱۰۶۲	۲۰۴۵۶۵۸	۱۸.۱۰	.۰۵۹	.۰۴۵۶
	۳۰۰۰ - ۳۰۶۰	۴۵۲۳۲۸۳	۷۱۸۳۶۳	.۳۶۷۰	۳۸۰۵۹۲۰	۳۳.۵۸	.۱۰۹	.۰۴۷
	۴۰۰۰ - ۴۰۶۰	۳۷۷۲۸۱۰	۶۰۱۴۳۸	.۳۰۷۲	۳۱۷۱۳۷۲	۲۸.۶	.۱۰۹	.۰۸۱
	۵۰۰۰ - ۵۰۶۰	۱۸۷۴۸۹۵	۳۴۱۸۲۱	.۱۷۴۶	۱۵۳۳۰۷۴	۱۳.۵۷	.۱۳۹	۱
	۶۰۰۰ - ۶۰۶۰	۵۸۲۷۲۵	۸۵۶۰۷	.۴۳۸	۴۹۷۰۷۸	۴.۴۰	.۰۹۹	.۰۷۳
نسبت (درجه)	۰ - ۰	۵۰۴۰۰۵	۵۰۴۹۳	۲.۵۸	۴۵۳۵۱۲	۴.۰۱	.۰۶۴	.۰۵۶۴
	۱۲ - ۰	۱۲۳۱۰۰۸	۱۸۶۵۳۶	۹.۵۳	۱۰۴۴۴۷۲	۹.۲۴	.۱۰۳	.۰۹۰۵
	۲۰ - ۱۲	۲۰۹۳۱۴۵	۳۴۴۹۳۰	۱۷.۶۲	۱۷۴۸۲۱۵	۱۵.۴۷	.۱۱۴	۱
	۳۰ - ۲۰	۴۱۵۹۰۹۶	۶۳۵۵۸۰	۳۲.۴۷	۲۵۲۲۵۱۶	۳۱.۱۸	.۱۰۴	.۰۹۱۴
	۴۰ - ۳۰	۳۸۴۲۷۳۳	۵۴۲۰۹۴	۲۷.۷۲	۲۳۰۰۱۳۹	۲۹.۲۰	.۰۹۵	.۰۸۳۳
	۷۹ - ۴۰	۱۴۲۸۱۱۴	۱۹۷۴۴۶	۱۰.۰۹	۱۲۳۰۶۶۸	۱۰.۱۹	.۰۹۳	.۰۸۱۳
جهت شیب	N	۱۵۴۵۲۴۲	۲۱۳۰۴۵	۱۰.۸۸	۱۳۳۲۱۹۷	۱۱.۷۹	.۰۹۲	.۰۷۴۷
	NE	۱۶۳۴۲۰۷	۲۱۰۵۳۴	۱۰.۷۵	۱۴۲۳۶۷۳	۱۲۵۰	.۰۸۵	.۰۵۹۱
	E	۱۴۹۵۲۱۱	۲۰۰۴۳۴	۱۰.۳۴	۱۲۹۴۷۷۷	۱۱.۴۶	.۰۸۹	.۰۷۲۳
	SE	۱۵۷۹۰۰۷	۱۹۹۵۴۵	۱۰.۱۹	۱۳۷۹۴۶۲	۱۲.۲۱	.۰۸۴	.۰۶۷۶
	S	۱۷۴۵۰۸۲	۲۵۶۵۰۷	۱۳.۱۰	۱۴۸۹۰۷۶	۱۳.۱۸	.۰۹۹	.۰۸۰۵
	SW	۱۸۸۰۶۹۹	۳۰۰۲۸۵	۱۰.۳۴	۱۵۸۰۴۱۴	۱۳.۹۹	.۱۰۰	.۰۸۸
	W	۱۷۵۱۴۳۷	۳۰۰۷۸۵۶	۱۵.۷۷	۱۴۴۲۶۸۱	۱۲.۷۷	.۱۲۴	۱
	NW	۱۶۲۶۷۱۵	۲۶۸۴۷۳	۱۳.۷۱	۱۳۵۸۲۴۲	۱۲.۰۲	.۱۱۴	.۰۹۲۴
کاربری اراضی	زراعی	۴۹۲۵۸	۱۲	.	۴۹۲۴۶	-۰.۴۳۶	.	۰۰۰۱
	باغ	۱۷۶۱۱۸	۲۸۶۶۵	۱.۴۶	۱۴۷۴۵۳	۱.۳۰۵	۱.۱۲	.۰۴۴۷
	مرتع خوب	۸۵۹۹۵۱	۹۱۶۹۶	۴۶۸	۷۶۸۲۵۵	۶.۷۹۸	.۰۵۹	.۰۷۵
	ترکیبی (کشاورزی - باغ)	۴۳۶۴۹۶	۶۹۲۶۴	۳.۵۴	۳۵۷۲۲۳۲	۳.۲۵۰	.۱۰۹	.۰۴۳۴
	ترکیبی (کشاورزی - جریانی)	۲۶۷۸۰	۶۲	.	۲۶۷۱۸	-۰.۲۳۶	.۰۰۱	۰۰۰۵
	ترکیبی (باغ - جریانی)	۳۸۲۸۵	۱۱۶۲۵	۰.۵۹	۲۶۷۶۰	-۰.۲۳۷	۲.۵۱	۱
	ترکیبی (اراضی دیم - جریانی)	۱۷۸۰۴	.	.	۱۷۸۰۴	-۰.۱۵۸	.	.
	ترکیبی (مرتع خوب - جریانی)	۶۱۰۸۴۰۰	۱۰۹۶۴۸۲	۵۶.۰۱	۵۰۱۱۹۱۸	۴۴.۳۵۲	.۱۲۶	.۰۵۰۴
	مرتع متوسط	۵۵۳۷۱۰۳	۶۵۹۷۷۳	۳۳.۷۰	۴۸۷۷۳۳۰	۴۳.۱۶۱	-۰.۷۸	.۰۳۱
	مرتع فقیر	۱۲	.	.	۱۲	.	.	.
تراکم پوشش گیاهی	ساخته شده	۷۶۹۰	.	.	۷۶۹۰	-۰.۶۸	.	.
	کم	۸۷۳۵۱۶۶	۱۲۰۹۰۴۹	۶۱.۷۷	۷۵۲۶۱۱۷	۶۷.۲۶	.۰۹۲	.۰۷۷۷
	متوسط	۳۸۵۱۵۹۵	۶۵۹۷۳۶	۳۳.۷۰	۳۱۹۱۸۵۹	۲۸.۵۲	۱.۱۸	۱
	زیاد	۵۶۰۸۴۴	۸۸۶۵۱	۴.۵۳	۴۷۲۱۹۳	۴.۱۲	۱.۰۷	.۰۹۰۸

ادامه جدول ۲. مقادیر عضویت فازی (وزن نسبی) مربوط به هر یک از عوامل مؤثر بر وقوع زمین‌لغزش

عامل	طیقه	تعداد پیکسل	تعداد پیکسل لغزشی	درصد پیکسل لغزشی	تعداد پیکسل لغزش فاقد لغزش	درصد پیکسل لغزش فاقد لغزش	FR	وزن نسبی
لینولوژی	Cm	۵۰۰۳۲	۹۸۹۴	.۰۵۱	۴۰۱۳۸	.۰۳۶	۱.۴۲۳	.۰۵۷
	Eb	۳۰۹۵۲	۶۱۳۶	.۰۳۱	۲۴۸۱۶	.۰۲۲	۱.۴۲۷	.۰۵۸
	Ek	۳۵۱۴۶۰۱	۴۳۳۵۵۸	.۲۲۱۵	۳۰۸۱۰۴۳	.۲۷۲۶	.۰۸۱۲	.۰۳۱۸
	Ekg	۳۱۳۵۰۷	۲۴۶۵۴	.۱۲۶	۲۸۸۸۵۳	.۲۵۶	.۰۴۹۳	.۰۱۹۳
	Em	۱۳۶۸۰۷	۳۵۶۸۱	.۱۸۲	۱۰۱۱۲۶	.۰۸۹	۲.۰۳۷	.۰۷۹۷
	Etliv	۳۲۲۳۳	.	.	۳۲۲۳۳	.۰۲۹	.	.
	Evai	۹۷۵۲۴	۵۵۶	.۰۰۳	۹۶۹۶۸	.۰۸۶	.۰۰۳۳	.۰۰۱۳
	Evbv	۳۷۶۶۲۲۳	۵۳۵۰۳۲	.۲۷۳۵	۳۲۳۰۹۳۱	.۲۸۵۹	.۰۹۵۶	.۰۳۷۴
	Evib	۲۲۲۱۱۰	۳۲۹۸۷	.۱۶۹	۱۸۹۱۲۳	.۱۶۷	۱.۰۰۷	.۰۳۹۴
	Ez	۴۴۱۵۵	۶۲۷۱	.۰۳۲	۳۷۸۸۴	.۰۳۴	.۰۹۵۶	.۰۳۷۴
	Jl	۱۴۱۷۰۱	۲۳۱۵۸	.۱۱۸	۱۱۸۵۴۳	.۱۰۵	۱.۱۲۸	.۰۴۴۱
	Js	۶۹۱۶۶	۶۳۵۰	.۰۳۲	۶۲۸۱۶	.۰۵۶	.۰۵۸۴	.۰۲۲۸
	Msm	۲۶۸۵۴۳۸	۴۵۸۵۶۶	.۲۳۴۳	۲۲۲۶۸۷۷۲	.۱۹۷۱	۱.۱۸۹	.۰۴۶۵
	Oiiv	۳۶۶۷۸۵	۴۶۴۹۹	.۲۳۸	۳۲۰۲۵۶	.۲۸۳	.۰۸۳۸	.۰۳۲۸
	P	۸۱	.	.	۸۱	.	.	.
	Pec	۴۸۸۶۹۸	۴۷۸۷۵	.۲۴۵	۴۴۰۸۲۳	.۳۹۰	.۰۶۲۷	.۰۲۴۵
	PEk	۴۱۸۷۷۵	۱۰۶۸۳۵	.۵۴۶	۳۱۱۹۴۰	.۲۷۶	۱.۹۷۷	.۰۷۷۳
	PEs	۲۶۶۴۱۸	۲۷۲۵۴	.۱۴۰	۲۳۹۰۵۴	.۲۱۲	.۰۶۶۱	.۰۲۵۸
	PLiai	۲۹۰	.	.	۲۹۰	.	.	.
	Pr	۸۸۳	۲۷۱	.۰۰۱	۶۱۲	.۰۰۱	۲.۰۵۶	۱
	Qt1	۶۱۱۳۴۷	۱۵۵۶۳۲	.۷۹۵	۴۵۵۷۱۵	.۴۰۳	۱.۹۷۱	.۰۷۷۱
	Qt2	۲۹۵	.	.	۲۹۵	.	.	.
فاصله از گسل (متر)	۰ - ۱۰۰	۱۷۳۷۹۸۸	۲۰۹۳۶۸	.۱۰۷۰	۱۵۲۸۶۲۰	.۱۳۵۳	.۰۷۹	.۰۶۷۸
	۱۰۰ - ۳۰۰	۲۰۸۷۲۴۸	۲۶۴۷۹۳	.۱۳۵۳	۱۸۲۲۴۵۵	.۱۶۱۳	.۰۸۴	.۰۷۱۹
	۳۰۰ - ۵۰۰	۲۵۵۱۸۲۵	۳۷۴۵۱۰	.۱۹۱۳	۲۱۱۷۳۱۵	.۱۹۲۷	.۰۹۹	.۰۸۵۲
فاصله از گسل (متر)	- ۱۰۰۰ ۵۰۰	۱۷۵۳۷۵۸	۲۸۷۲۳۹	.۱۴۵۷	۱۴۶۵۱۹	.۱۲۹۸	۱.۱۳	.۰۹۷۰
	- ۲۰۰۰ ۱۰۰۰	۱۳۶۰۰۴۴	۱۸۸۶۲۳	.۹۶۴	۱۱۷۱۴۲۱	.۱۰۳۷	.۰۹۳	.۰۷۹۷
	۲۰۰۰ <	۳۷۶۷۲۱۷	۶۳۳۰۴۶	.۳۲۳۴	۳۱۳۴۱۷۱	.۲۷۷۳	۱.۱۷	۱

جدول ۳ ضرایب β بدست آمده برای متغیرهای مؤثر در وقوع زمین‌لغزش را بر مبنای اجرای مدل رگرسیون لجستیک نشان می‌دهد؛ این ضریب بیانگر میزان تأثیر هر کدام از متغیرهای مستقل در احتمال رخداد پدیده زمین‌لغزش در محدوده مورد بررسی می‌باشد. با توجه به جدول، متغیر زمین‌شناسی با ضریب $\beta = 2/12$ ، به عنوان مؤثرترین لایه در وقوع پهنه‌های لغزشی حوضه آبخیز طالقان معروفی شده است. پس از آن، لایهی تراکم شبکه‌ی آبراهه دارای ضریب $\beta = 1/62$ بوده و به عنوان دومین متغیر مؤثر در وقوع لغزش‌های حوضه طالقان مطرح است. سومین متغیر مؤثر کاربری اراضی است که ضریب β محاسبه شده برای آن $1/616$ می‌باشد. متغیرهای فاصله از جاده با ضریب $1/35$ ، جهت شیب با ضریب $1/16$ ،

فاصله از گسل با ضریب ۱/۱۱، ارتفاع با ضریب ۱/۱، تراکم پوشش گیاهی با ضریب ۰/۶۴ و شیب با ضریب ۰/۴۱، به ترتیب در درجه‌های بعدی اهمیت از لحاظ تأثیرگذاری بر موقعیت پهنه‌های لغزشی در حوضه آبخیز طالقان قرار دارند.

ادامه جدول ۲. مقداری عضویت فازی (وزن نسبی) مربوط به هر یک از عوامل مؤثر بر موقعیت زمین‌لغزش

عامل	طبقه	تعداد پیکسل	تعداد پیکسل لغزشی	درصد پیکسل لغزشی	تعداد پیکسل فاقد لغزش	درصد پیکسل فاقد لغزش	FR	وزن نسبی
فاصله از جاده (متر)	۰ - ۱۰۰	۱۶۰۴۴۶۶	۲۳۱۰۵۱	۱۱.۸۰	۱۳۷۳۴۱۵	۱۲.۱۵	۰.۹۷	۰.۸۳۵
	۱۰۰ - ۳۰۰	۲۴۰۸۹۲۷	۳۸۱۷۶۴	۱۹.۵۰	۲۰۲۷۱۶۳	۱۷.۹۴	۱.۰۹	۰.۹۳۵
	۳۰۰ - ۵۰۰	۱۹۴۷۴۴۹	۲۹۳۷۶۷	۱۵.۰۱	۱۶۵۳۶۸۲	۱۴.۶۳	۱.۰۳	۰.۸۸۲
	۵۰۰ - ۱۰۰۰	۳۲۵۵۷۵۵	۴۳۹۱۳۹	۲۲.۴۳	۲۸۱۶۶۱۶	۲۴.۹۲	۰.۹۰	۰.۷۷۴
	۱۰۰۰ - ۲۰۰۰	۲۵۸۶۷۵۸	۳۶۸۰۱۲	۱۸.۸۰	۲۲۱۸۷۴۶	۱۹.۶۳	۰.۹۶	۰.۸۲۴
	۲۰۰۰ <	۱۴۵۴۷۰۳	۲۴۳۸۴۶	۱۲.۴۶	۱۲۱۰۸۵۷	۱۰.۷۲	۱.۱۶	۱
تراکم آبراهه (کیلومتر/کیلومتر مربع)	< ۲.۳۶	۱۸۴۷۳۰۶	۱۹۷۲۵۷	۱۰.۰۸	۱۶۵۰۰۴۹	۱۴.۶۰	۰.۶۹	۰.۵۶۸
	۲.۳۶ - ۳.۲۴	۲۸۷۹۶۰۵	۴۶۰۷۲۳	۲۳.۵۴	۲۴۱۸۸۸۲	۲۱.۴۰	۱.۱۰	۰.۹۰۶
	۳.۲۴ - ۴.۱۰	۳۰۲۴۹۳۰	۴۹۹۵۲۱	۲۵.۰۲	۲۵۲۵۴۰۹	۲۲.۳۴	۱.۱۴	۰.۹۴۰
	۴.۱۰ - ۴.۹۸	۳۲۳۷۳۶۹	۵۶۲۵۷۳	۲۸.۷۵	۲۶۷۴۷۹۶	۲۳.۵۷	۱.۲۱	۱
	۴.۹۸ - ۶.۴۸	۲۲۷۰۰۷۶	۲۳۶۹۴۳	۱۲.۱۱	۲۰۳۳۱۳۳	۱۷.۹۹	۰.۶۷	۰.۵۵۴

جدول ۳. ضرایب β بدست آمده از اجرای مدل رگرسیون لجستیک برای متغیرهای مستقل

متغیر مستقل	ضریب β	سطح معنی داری
شیب	۰/۴۱	.
فاصله از جاده	۱/۳۴۹	.
تراکم آبراهه	۱/۶۱۷	.
تراکم پوشش گیاهی	۰/۶۳۹	.
کاربری اراضی	۱/۶۱۶	.
زمین‌شناسی	۲/۱۱۷	.
فاصله از گسل	۱/۱۱	.
ارتفاع	۱/۰۹۷	.
جهت شیب	۱/۱۶۲	.
مقدار ثابت	-۹/۹۳۷	.

بر مبنای ضرایب بدست آمده از مدل، شکل عمومی مدل رگرسیون لجستیک در این پژوهش به صورت رابطه ۱۱ بدست آمد و با استفاده از این رابطه در محیط تحلیل رستری ArcMap، همپوشانی متغیرها جهت نقشه پهنه‌بندی احتمال وقوع زمین‌لغزش با مدل رگرسیون لجستیک در حوضه آبخیز طالقان انجام گرفت. نقشه پهنه‌بندی خطر زمین‌لغزش در پنج طبقه‌ی با احتمال خطر خیلی کم، نسبتاً کم خطر، با خطر متوسط، پر خطر و خیلی پر خطر تهیه شد (شکل ۲).

رابطه (۱۱)

$$Z = -9.937 + (1.16 \times \text{Aspect}) + (0.41 \times \text{Slope}) + (1.1 \times \text{Elevation}) + (1.11 \times \text{Fault}) + (2.12 \times \text{Geology}) + (1.62 \times \text{Land use}) + (0.64 \times \text{NDVI}) + (1.62 \times \text{River}) + (1.35 \times \text{Road})$$

در انتخاب روش رگرسیون چند متغیره، از روش گام به گام استفاده شد که نتایج حاصل از اعمال این روش با درصد اطمینان بیش از ۹۵ درصد تعیین گردید. پس از انجام عملیات رگرسیونی از میان ۱۱ پارامتر دلالت داده شده در رگرسیون، ۲ متغیر میزان بارش و فرم دامنه به دلیل داشتن ضریب معنی داری کمتر از ۹۵ درصد و نداشتن رابطه آماری قوی با سطح لغزش‌های رخ داده در طبقات پارامترها، حذف شدند. ۹ پارامتر باقی مانده در سطح اطمینان بین ۹۵ تا ۹۹ درصد معنی دار بوده‌اند؛ ضریب مؤثر بودن هر کدام از پارامترها در وجود سطح‌های لغزشی در جدول ۴ ارائه شده است.

جدول ۴. ضرایب β بدست آمده از اجرای مدل رگرسیون چند متغیره برای متغیرهای مستقل

متغیر مستقل	ضریب β	سطح معنی داری
شیب	۰/۰۶۶	.
فاصله از جاده	۰/۱۹	.
تراکم آبراهه	۰/۰۲۱	.
تراکم پوشش گیاهی	۰/۰۱۷	.
کاربری اراضی	۰/۰۲۰۴	.
زمین‌شناسی	۰/۰۳۲۶	.
فاصله از گسل	۰/۰۱۴۶	.
ارتفاع	۰/۰۱۹۴	.
جهت شیب	۰/۰۱۵۴	.
مقدار ثابت	-۰/۰۹۳۷	.

با توجه به ضرایب بدست آمده مشاهده می‌شود که پارامتر زمین‌شناسی با ضریب ۰/۰۳۲۶ به عنوان مهم‌ترین لایه‌ی تأثیرگذار در رخداد پهنه‌های لغزشی حوضه آبخیز طالقان مطرح است. پس از آن پارامتر تراکم آبراهه با ضریب ۰/۰۲۱ به عنوان دومین لایه‌ی تأثیرگذار در رخداد زمین‌لغزش است. پارامترهای کاربری اراضی با ضریب ۰/۰۲۰۴، ارتفاع با ضریب ۰/۰۱۹۴، فاصله از جاده با ضریب ۰/۰۱۹، جهت شیب با ضریب ۰/۰۱۵۴، فاصله از گسل با ضریب ۰/۰۱۴۶، تراکم پوشش گیاهی با ضریب ۰/۰۱۷ و شیب با ضریب ۰/۰۶۶ در درجه‌های بعدی اهمیت از نظر تأثیرگذاری بر وجود پهنه‌های لغزشی حوضه آبخیز طالقان قرار دارند. مدلی که سرانجام از اجرای رگرسیون چند متغیره بدست آمد در رابطه ۱۲ ارائه شده است که در تهییه نقشه پهنه‌بندی خطر زمین‌لغزش با استفاده از رگرسیون چند متغیره مورد استفاده قرار گرفت (شکل ۳).

(۱۲) رابطه

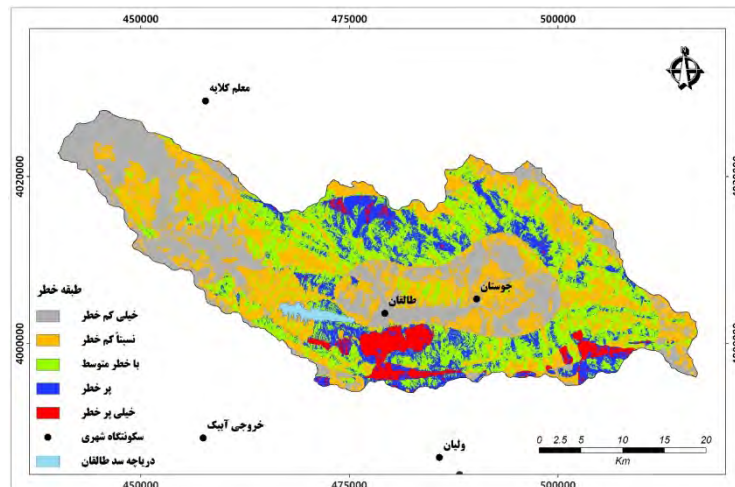
$$Y = -0.937 + (0.154 \times \text{Aspect}) + (0.066 \times \text{Slope}) + (0.194 \times \text{Elevation}) + (0.146 \times \text{Fault}) + (0.326 \times \text{Geology}) + (0.204 \times \text{Land use}) + (0.107 \times \text{NDVI}) + (0.21 \times \text{River}) + (0.19 \times \text{Road})$$

با توجه به وزن‌های نسبی محاسبه شده در روش تحلیل سلسله مراتبی (شکل ۴)، متغیر زمین‌شناسی با ضریب ۰/۰۳۲۶ به عنوان مؤثرترین عامل در وجود پهنه‌های لغزشی حوضه طالقان بر اساس نظرات کارشناسی مطرح است؛ متغیر شیب با ۰/۰۱۹۹ در درجه دوم قرار دارد. پس از آن متغیرهای فاصله از جاده با ضریب ۰/۰۱۴۹، کاربری اراضی (۰/۰۹۵)، تراکم آبراهه (۰/۰۰۷۷)، فاصله از گسل (۰/۰۰۵۷)، تراکم پوشش گیاهی (۰/۰۰۴۳)، جهت شیب (۰/۰۰۳۶) و ارتفاع با ضریب ۰/۰۱۸ در درجه‌های بعدی تأثیرگذار بودن بر وجود پهنه‌های لغزش در منطقه مطالعاتی قرار دارند. شکل عمومی معادله‌ی بدست آمده از اجرای مدل AHP در رابطه ۱۳ آورده شده است. نقشه پهنه‌بندی خطر زمین‌لغزش با استفاده از روش تحلیل سلسله مراتبی در شکل ۵ نشان داده شده است.

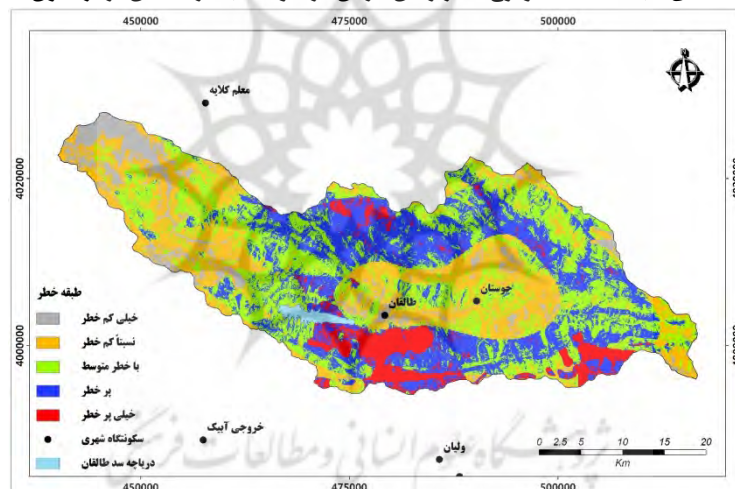
(۱۳) رابطه

$$Y = (0.326 \times \text{Geology}) + (0.199 \times \text{slope}) + (0.149 \times \text{Road}) + (0.095 \times \text{Land use}) + (0.077 \times \text{River}) + (0.055 \times \text{Fault}) + (0.043 \times \text{NDVI}) + (0.036 \times \text{Aspect}) + (0.018 \times \text{Elevation})$$

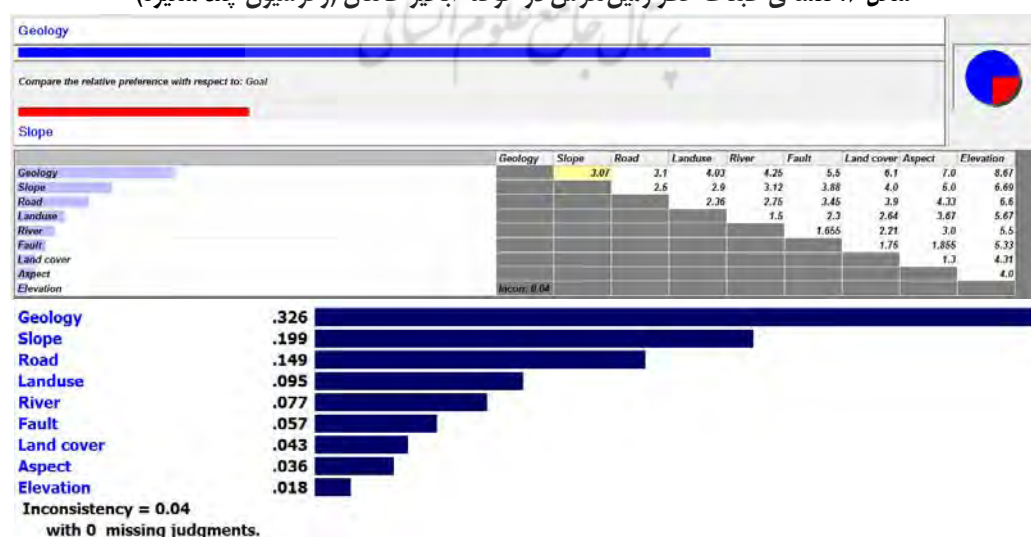
در نهایت و با توجه به رابطه‌های تعریف شده جهت اعمال گام‌ای فازی، لایه‌ی نهایی حاصل از هر کدام از مقادیر ۶ در شکل‌های ۶ تا ۶ آورده شده است.



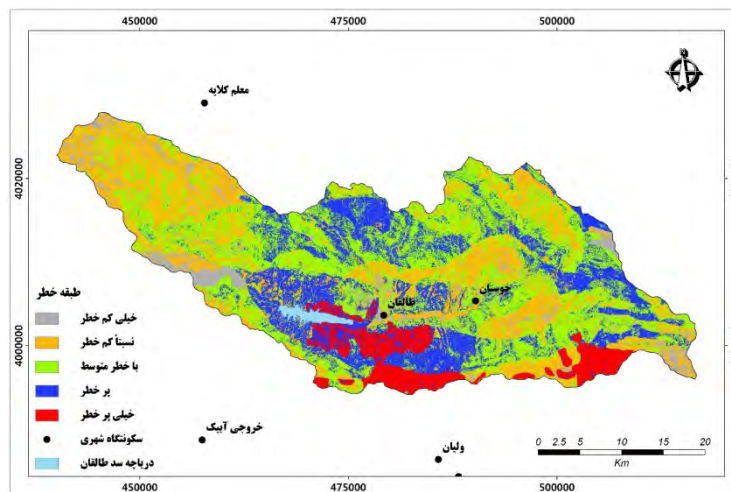
شکل ۲. نقشه‌ی طبقات احتمال وقوع خطر زمین‌لغزش در حوضه آبخیز طالقان (رگرسیون لجستیک)



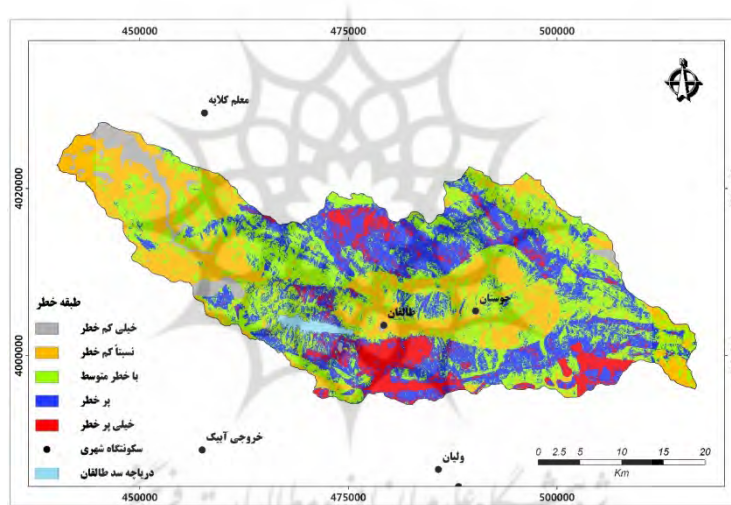
شکل ۳. نقشه‌ی طبقات خطر زمین‌لغزش در حوضه آبخیز طالقان (رگرسیون چند متغیره)



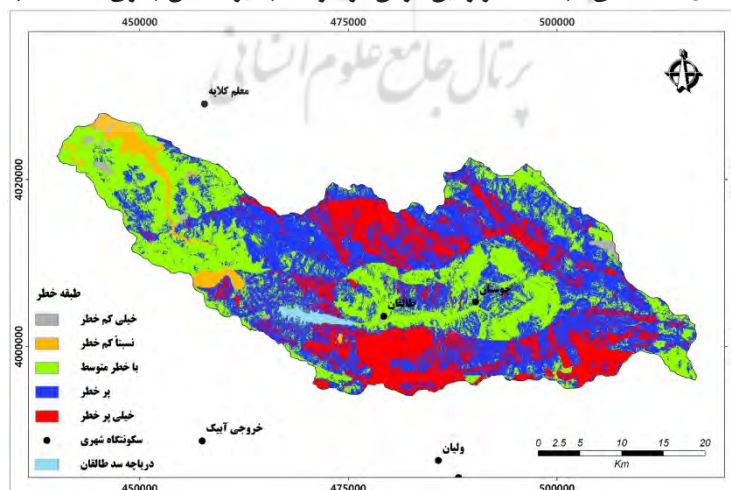
شکل ۴. نمایش گرافیکی به هر یک از پارامترهای مؤثر در وقوع پهنه‌های لغزشی حوضه طالقان



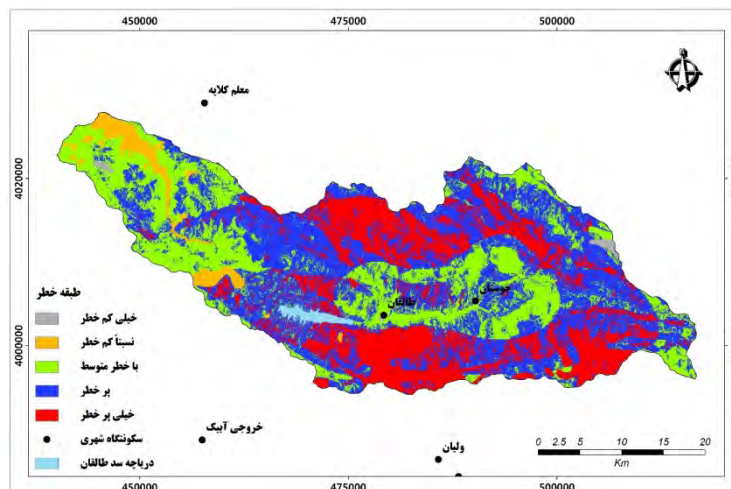
شکل ۵. نقشه‌ی طبقات خطر زمین‌لغزش در حوضه آبخیز طالقان (تحلیل سلسه مراتبی)



شکل ۶. نقشه‌ی طبقات خطر زمین‌لغزش در حوضه آبخیز طالقان (فازی: گاما ۰/۷)



شکل ۷. نقشه‌ی طبقات خطر زمین‌لغزش در حوضه آبخیز طالقان (فازی: گاما ۰/۸)



شکل ۸. نقشه‌ی طبقات خطر زمین‌لغزش در حوضه‌ی آبخیز طالقان (فازی: گاما: ۰/۹)

۵. نتیجه‌گیری

با استفاده از تلفیق نقشه پراکنش زمین‌لغزش‌های حوضه و نقشه‌های پهنه‌بندی خطر در محیط ArcMap، به ارزیابی و مقایسه روش‌های پهنه‌بندی خطر زمین‌لغزش، با استفاده از روش مجموع کیفیت (QS) و دقت (P) پرداخته می‌شود و در نهایت مدل مناسب منطبق با منطقه مورد بررسی، انتخاب می‌گردد. برای مقایسه دقت بین پهنه‌ها یا رده‌های خطر در هر روش از روش‌های پهنه‌بندی، نسبت تراکم (Dr) بکار می‌رود. به طور کلی شاخص زمین‌لغزش (LI) و نسبت تراکمی (LI) و پیش‌بینی (P)، برای ارزیابی و مقایسه دقت بین پهنه‌ها یا رده‌های خطر در هر روش از روش‌های پهنه‌بندی و شاخص مجموع کیفیت (QS) برای ارزیابی و مقایسه بین روش‌های مختلف کاربرد دارد.

انحراف مقادیر Dr در پهنه‌های مختلف خطر اگر به هم نزدیک باشند، نشان‌دهنده آن است که تراکم زمین‌لغزش‌ها در رده‌های مختلف به یکدیگر نزدیک بوده و مقدار QS نیز پایین می‌باشد. ولی اگر انحراف مقادیر Dr از میانگین در پهنه‌های مختلف زیاد باشد، نشان‌دهنده آن است که تراکم زمین‌لغزش‌ها در رده‌های مختلف خطر با یکدیگر تفاوت داشته و در نتیجه مقدار عددی QS بزرگ‌تر می‌گردد. بنابراین، هر نقشه پهنه‌بندی که دارای شاخص QS بالاتر باشد، از صحت و دقت بیش‌تری برای پهنه‌بندی خطر لغزش برخوردار است (Gee, 1991). تراکم زمین‌لغزش در نقشه‌های خطری که به‌طور صحیح تهیه شده باشند، از رده خطر کم تا رده‌های پر خطر به صورت صعودی مشاهده خواهد شد.

به منظور ارزیابی صحت نقشه‌های تهیه شده در این پژوهش، (با استفاده از روش‌های رگرسیون لجستیک، رگرسیون چند متغیره، تحلیل سلسله مراتبی و اپراتور گامایی فازی)، ابتدا هر کدام از نقشه‌های حاصله از روش‌ها با پنج رده خطر، در نقشه پراکنش پهنه‌های لغزشی منطقه مطالعاتی تلفیق شدند تا مساحت پهنه‌های لغزشی در هر رده خطر هر کدام از نقشه‌ها محاسبه شود. سپس مقادیر نسبت تراکم، شاخص مجموع کیفیت و دقت روش برای روش‌های بکار گرفته شده در این پژوهش، برآورد شد تا از طریق مقایسه‌ی مقادیر این شاخص‌ها بتوان مدل مناسب و منطبق با حوضه‌ی آبخیز طالقان را به منظور پهنه‌بندی دقیق‌تر خطر زمین‌لغزش آن انتخاب نمود. یافته‌های حاصل از محاسبه مقادیر شاخص‌های مجموع کیفیت و دقت روش در جدول ۵ آورده شده است. با توجه به این یافته‌ها، نسبت تراکمی (که همان مقادیر شاخص زمین‌لغزش مربوط به پهنه‌های خطر است) در هر ۶ روش بکار گرفته شده، ضمن تفکیک‌پذیری خوب، متناسب با افزایش خطر پهنه‌ها رو به فزونی نهاده است.

جدول ۵. صحت و دقت روش‌های پهنه‌بندی خطر زمین‌لغزش در حوضه آبخیز طالقان

مدل پهنه بندی	ردۀ خطر لغزش	مساحت پهنه به کیلومتر مربع (Ai)	مساحت لغزش پهنه به کیلومتر مربع (Si)	نسبت تراکمی (DR)	نسبت مساحت (S)	در QS هر ردۀ	مجموع کیفیت (QS)	دقت روش (P)
RL	۱	۳۳۷.۱۶	۲۱.۵۲	۰.۴۳	۰.۲۶	۰.۰۸۳	۰.۲۶	۰.۲۲
	۲	۴۱۸.۴۳	۴۹.۴۳	۰.۸۰	۰.۳۲	۰.۰۱۳		
	۳	۳۵۲.۵۷	۶۴.۳۲	۱.۲۳	۰.۲۷	۰.۰۱۴		
	۴	۱۶۱.۸۶	۴۲.۰۵	۱.۷۵	۰.۱۲	۰.۰۰۷۰		
	۵	۵۱.۶۵	۱۸.۳۵	۲.۴۰	۰.۰۴	۰.۰۰۷۷		
	Sum	۱۳۲۱.۷	۱۹۵.۷					
MR	۱	۹۹.۰۱	۳.۹۴	۰.۲۷	۰.۰۷	۰.۰۴۰	۰.۲۴	۰.۱۸
	۲	۳۱۸.۳۲	۲۴۶۲	۰.۵۲	۰.۲۴	۰.۰۰۵۵		
	۳	۴۴۰.۴۳	۵۹.۸۹	۰.۹۳	۰.۳۳	۰.۰۰۰۴		
	۴	۳۶۴.۶۷	۷۵.۱۷	۱.۴۰	۰.۲۸	۰.۰۰۴۳		
	۵	۹۸.۸۲	۳۱.۸۰	۲.۱۷	۰.۰۷	۰.۱۰۳		
	Sum	۱۳۲۱.۷	۱۹۵.۷					
AHP	۱	۹۵.۸۶	۶۸۹	۰.۴۹	۰.۰۷	۰.۰۱۹	۰.۱۶	۰.۱۸
	۲	۳۶۱.۹۹	۳۰.۶۲	۰.۵۷	۰.۲۷	۰.۰۰۵۰		
	۳	۴۷۹.۹۵	۷۲.۰۷	۱.۰۲	۰.۳۶	۰.۰۰۰۰		
	۴	۲۹۰.۸۲	۵۹.۰۷	۱.۳۸	۰.۲۲	۰.۰۰۳۲		
	۵	۹۲.۲۱	۲۶.۳۲	۱.۹۳	۰.۰۷	۰.۰۰۶۰		
	Sum	۱۳۲۱.۷	۱۹۵.۷					
FL 0.7	۱	۴۷.۰۶	۰.۳۱	۰.۰۴	۰.۰۴	۰.۰۳۳	۰.۲۵	۰.۱۸
	۲	۳۲۶.۱۶	۲۲.۸۷	۰.۴۹	۰.۲۵	۰.۰۶۳		
	۳	۴۶۷.۲۵	۶۳.۲۲	۰.۹۱	۰.۳۵	۰.۰۰۳		
	۴	۳۷۰.۲۲	۷۱.۸۴	۱.۳۱	۰.۲۸	۰.۰۰۲۷		
	۵	۱۱۰.۴۱	۳۶.۳۴	۲.۲۲	۰.۰۸	۰.۱۲۵		
	Sum	۱۳۲۱.۷	۱۹۵.۷					
FL 0.8	۱	۹.۴۶	۰.۰۰	۰.۰۰	۰.۰۱	۰.۰۰۷	۰.۲۳	۰.۱۵
	۲	۳۷.۷۹	۰.۳۱	۰.۰۶	۰.۰۳	۰.۰۲۶		
	۳	۴۳۰.۸۸	۳۴.۹۲	۰.۵۵	۰.۳۳	۰.۰۶۷		
	۴	۵۷۸.۰۲	۸۹.۱۲	۱.۰۴	۰.۴۴	۰.۰۰۱		
	۵	۲۶۵.۵۲	۷۱.۱۴	۱.۸۱	۰.۲۰	۰.۱۳۲		
	Sum	۱۳۲۱.۷	۱۹۵.۷					
FL 0.9	۱	۵۸۱	۰	۰	۰.۰۰۴	۰.۰۰۴	۰.۲۲	۰.۱۵
	۲	۴۱.۲۲	۰.۳۱	۰.۰۵	۰.۰۳	۰.۰۲۸		
	۳	۳۶۶.۷۷	۲۷.۸۷	۰.۵۱	۰.۲۸	۰.۰۶۶		
	۴	۵۷۹.۵۲	۸۴.۸۲	۰.۹۹	۰.۴۴	۰.۰۰۰		
	۵	۳۲۸.۳۵	۸۲.۶۸	۱.۷۰	۰.۲۵	۰.۱۲۲		
	Sum	۱۳۲۱.۷	۱۹۵.۷					

مقدار شاخص مجموع کیفیت (QS) که مقایسه و ارزیابی روش‌ها را در قیاس با یکدیگر نشان می‌دهد، در روش رگرسیون لجستیک ۰/۲۶ محاسبه شده است که مطلوبیت و صحت بیشتر استفاده از این روش را در پهنه‌بندی خطر

سطح‌های لغزشی حوضه آبخیز مورد بررسی نشان می‌دهد. پس از آن، روش گامای فازی ۷/۰ با مجموع کیفیت ۲۵/۰ در درجه دوم مطلوبیت و صحت قرار دارد. مقدار QS روش‌های رگرسیون چند متغیره، گامای فازی ۸/۰، گامای فازی ۹/۰ و تحلیل سلسله مراتبی بترتیب ۲۴/۰، ۲۳/۰، ۲۲/۰ و ۱۶/۰ بدست آمده است که بیانگر صحت کمتر آن‌ها نسبت به رگرسیون لجستیک می‌باشد. در مورد شاخص دقت پیش‌بینی خطر (P) هم مشاهده می‌شود که رگرسیون لجستیک با مقدار ۲۲/۰، تفکیک‌پذیری یکسان‌تر و مناسب‌تری از پهنه‌های خطر را نسبت به دیگر روش‌ها مورد استفاده تأیید می‌کند. مقدار این شاخص برای روش‌های گامای فازی ۷/۰ و رگرسیون چند متغیره، که دارای مجموع کیفیت بالاتری نسبت به سایر روش‌ها بودند، ۱۸/۰ برآورد شده است که نشان از تفکیک‌پذیری مناسب و یکسان پهنه‌های خطر لغزش در این دو روش دارد. دقت روش محاسبه شده برای گامای فازی ۸/۰ و ۹/۰ نیز ۱۸/۰ است. مشاهده می‌شود که پیش‌تر یا کمتر بودن مقادیر شاخص دقت روش برای مدل‌های بکار گرفته شده با مقادیر شاخص مجموع کیفیت متناظر روش‌ها همخوانی دارد؛ یعنی در هر دو شاخص، روش رگرسیون لجستیک دارای مقادیر بهینه‌تری نسبت به سایر روش‌ها می‌باشد. تنها یک استثنای وجود دارد و آن هم مربوط به مدل تحلیل سلسله مراتبی است؛ با وجود اینکه این مدل پایین‌ترین مقدار شاخص مجموع کیفیت را در بین سایر مدل‌ها دارد، ولی از دقت روش نسبتاً بالایی (۱۸/۰) برخوردار است. این امر نشان می‌دهد که مدل تحلیل سلسله مراتبی از نظر تفکیک‌پذیری پهنه‌های خطر، وضعیتی یکسان با رگرسیون چند متغیره و گامای فازی ۷/۰ دارد. شاید عدم انطباق میان مقادیر شاخص مجموع کیفیت و دقت پیش‌بینی به ماهیت متفاوت مدل AHP با سایر روش‌ها بر می‌گردد. چون روش AHP به منظور تصمیم‌گیری نهایی در مورد هدف (نقشه خطر زمین‌لغزش) بر قضاوت کارشناسی و مقایسه زوجی صفات (عوامل مؤثر در لغزش) مبتنی است، حال آنکه روش‌های دیگر بر ضرایب متغیرهای مستقل حاصل از روش رگرسیونی استوار هستند.

در یک جمع‌بندی کلی، ترتیب بهینه و مناسب بودن مدل‌های مورد استفاده در این پژوهش به منظور پهنه‌بندی خطر زمین‌لغزش در حوضه آبخیز طالقان عبارت است از: رگرسیون لجستیک، اپراتور گامای فازی ۷/۰، رگرسیون چند متغیره، گامای فازی ۸/۰ و ۹/۰ و تحلیل سلسله مراتبی. نتایج حاصل از مدل‌سازی با استفاده از روش‌های انتخاب شده در این پژوهش، دقت‌های متفاوتی را از آن‌ها در تهیه‌ی نقشه نهایی پهنه‌بندی نشان داد. اگر چه بر اساس دقت روش (P) که نشان از تفکیک‌پذیری پهنه‌های خطر در هر روش دارد، مقادیر تقریباً یکسانی برای روش‌ها، به غیر از روش رگرسیون لجستیک، بدست آمد و محدودیتی برای دخالت دادن پارامترها به چشم نمی‌خورد. اما اختلاف در صحت یا مطلوبیت (QS) که بیان‌کننده ارجحیت روش‌ها است، می‌تواند ناشی از مواردی از این دست باشد: یکسان نبودن ماهیت پارامترها و عوامل شرکت دهنده در فرآیندها، هنگامی که هدف همانا مقایسه باشد. به عبارتی، ماهیت ذاتی پارامترها یا عوامل مؤثر در مدل‌های مختلف متفاوت هستند و روشی که بتواند اولویت عوامل مؤثر و مقدار وزن آن‌ها را با هم‌دیگر محاسبه کند، دارای صحت بیش‌تری است و به عبارتی، انطباق بهتری با پتانسیل وقوع لغزش در منطقه خواهد داشت. در این مورد روش رگرسیون لجستیک مبتنی بر بکارگیری ضرایب حاصل از روش رگرسیونی (تلفیقی) و وزن معیار متغیرها نسبت به هم‌دیگر (ضریب β)، ارجحیت بیش‌تری را نسبت به سایر روش‌ها نشان داد.

منابع

- احمدی، حسن؛ اسلامی، ابذر؛ فیض نیا، سادات؛ و شریعت جعفری، محسن (۱۳۸۲). پهنه‌بندی خطر حرکت‌های توده‌ای با استفاده از دو روش رگرسیون چند متغیره MR و تحلیل سلسله مراتبی AHP "مطالعه موردي حوزه آبخیز گرمی چاه"، مجله منابع طبیعی ایران، جلد ۵۶، ۴: ۳۲۳-۳۳۶.
- شادرف، صمد (۱۳۸۴). پهنه‌بندی خطر زمین‌لغزش با استفاده از روش تحلیل سلسله مراتبی، مطالعه موردي حوضه آبخیز چالکرود، مجله پژوهش و سازندگی در منابع طبیعی، شماره ۷۵: ۱۱۸-۱۲۶.

- شریعت جعفری، محسن؛ و حامدپناه، رامین (۱۳۸۶). پیش‌بینی خطر ناپایداری شیب‌های طبیعی با استفاده از عملگرهای ضرب و جمع جبری فازی در البرز مرکزی، نشریه منابع طبیعی ایران، شماره ۳: ۷۴۵-۷۵۷.
 - شیرانی، کورش؛ سیف، عبدالله؛ و علیمرادی، مسعود (۱۳۸۹). صحبت‌سنگی روش تحلیل سلسله مراتبی (GIS) و رگرسیون چند متغیره (AHP) در پهنه‌بندی خطر زمین‌لغزش به کمک تکنیک (GIS) (مطالعه موردی: حوضه رودخانه ماربر). مهندسی فناوری اطلاعات مکانی، سال یکم، شماره سوم: ۹۱-۱۰۸.
 - عبادتی‌نژاد، سید علی؛ یمانی، مجتبی؛ مقصودی، مهران و شادر، صمد (۱۳۸۶). ارزیابی کارایی عملگرهای منطق فازی در تعیین توانمندی زمین‌لغزش در حوضه آبخیز شیرود، مجله علمی-پژوهشی علوم مهندسی آبخیزداری، سال اول، شماره ۲: ۳۹-۴۴.
 - کورکی نژاد، مسعود؛ اونق، مجید؛ اسلامی، مهیا؛ کبیر، آتنا؛ و شفیع زاده، المیرا (۱۳۸۴). پهنه‌بندی خطر زمین‌لغزش در آبخیز سیاه روبار گلستان، مجموعه مقالات دومین کنفرانس سراسری آبخیزداری و مدیریت منابع آب و خاک، کرمان، چاپ اول، ۳۶۸-۳۶۱.
 - متكان، علی‌اکبر؛ سمیعا، جلال؛ پورعلی، سیدحسین؛ و صفائی، مهرداد (۱۳۸۸). مدل‌های منطق فازی و سنجش از دور جهت پهنه‌بندی خطر زمین‌لغزش در حوضه آبخیز لاجیم، صل‌نامه زمین‌شناسی کاربردی، سال ۵، شماره ۴: ۳۱۸-۳۲۵.
 - مرادی، حمیدرضا؛ پورقاسمی، حمیدرضا؛ محمدی، مجید؛ و مهدویفر، محمدرضا (۱۳۸۹). پهنه‌بندی خطر زمین‌لغزش با استفاده از اپراتور فازی گاما (مطالعه موردی: حوزه آبخیز هراز). علوم محیطی، سال هفتم، شماره چهارم: ۱۲۹-۱۴۲.
 - نادری، فتح‌الله (۱۳۹۱). کاربرد منطق فازی در پهنه‌بندی خطر زمین‌لغزش در حوضه آبخیز چردابول ایلام. پژوهش‌های آبخیزداری، شماره ۹۴: ۷۴-۸۵.
- Cornforth, D.H., (2005). *Landslides in Practice*. USA: John Wiley & Sons Inc., 591p.
 - Gee, M.D., (1992). *Classification of Landslides Hazard Zonation Methods and a Test of Predictive Capability*. In: Bell, Davi, H. (eds.), *Proceedings 6th International Symposium on Landslide*, 48-56.
 - Gorsevski, P.V., Jankowski, P., and Gelssler, P.E., (2006). *Heuristic approach for mapping landslide hazard integrating fuzzy logic with analytic hierarchy process*, *Control and Cybernetics*, (35): 1-26.
 - Juang, C.H., Hauang, R.D., and Chen, J.W., (1996). *Determining of relative density of sands from CPT using fuzzy sets*. *Journal of Geotechnical Engineering*, 122(1): 1-16.
 - Lee, D.H., and Juang, C.H., (1992). *Evaluation of failure potential in mudstone slopes using fuzzy sets*. *ASCE Geotechnical Special Publication 31, Stability and Performance of Slopes and Embankment-II* (2): 1137-1151.
 - Lee, S., (2007). *Application and verification of fuzzy algebraic operators to landslide susceptibility mapping*. *Environmental Geology*, (50): 847-855.
 - Murat, E., and Candan, G., (2003). *Use of fuzzy relation to produce landslide susceptibility map of a landslide prone area (west black sea region, turkey)*, *Engineering geology*. (75), pp24.
 - Naderi, F., Naseri, B., Karimi, H., and Habibi Bibalani, G.H., (2010). *Efficiency evaluation of different landslide susceptibility mapping methods (Case study: Zangvan*

watershed, Ilam province): First international conference of soil and roots engineering relationship (LANDCON1005), Ardebil Province, Iran.

- Sabuya, F.M., Alves, G., and Pinto, W.D., (2006). Assessment of failure susceptibility of soil slopes using fuzzy logic, *Engineering Geology*, pp14.
- Yalcin, A., (2008). GIS-based Landslide Susceptibility Mapping Using Analytical Hierarchy Process and Bivariate Statistics in Ardesen (Turkey), Comparisons of results and confirmations *Catena*, (72): 1-12.
- Yin, K.J., and Yan, T.Z., (1988). Statistical Prediction Model for Slope Instability of Metamorphosed Rocks. *Proceedings 5th International Symposium on Landslides*, Lausanne, Switzerland, (2): 1269-1272.

